

# КИНЕТИКА ДЕЛЕНИЯ ЯЧЕЕК В ЯЧЕЙСТОЙ ДИСЛОКАЦИОННОЙ СТРУКТУРЕ

Г. А. Малыгин

В процессе пластической деформации дислокационная структура в кристаллах, особенно металлических, как правило, не остается однородной, а приобретает характерное ячеистое строение [1-4]. Как установлено в [1], в первый момент после возникновения такой структуры существует довольно широкое распределение ячеек по размерам — от некоторого минимального размера  $\Lambda_1$  до максимального  $\Lambda_2$ . В ходе дальнейшей деформации ячейки больших размеров измельчаются путем образования внутри них новых дислокационных границ [1-3]. Процесс деления ячеек продолжается до тех пор, пока не будет достигнут некоторый равновесный размер ячеек  $\Lambda_\infty$ , близкий к  $\Lambda_1$ . В результате деления ячеек средний их размер уменьшается с деформацией (рис. 1).

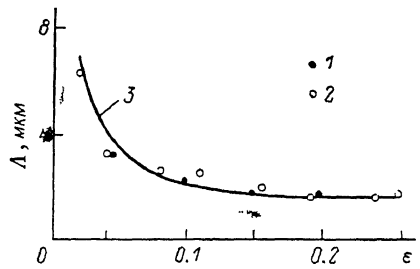


Рис. 1. Зависимость размера ячеек в Al при 293 К от величины пластиической деформации.

1 — [2], 2 — [3], 3 — согласно (4).

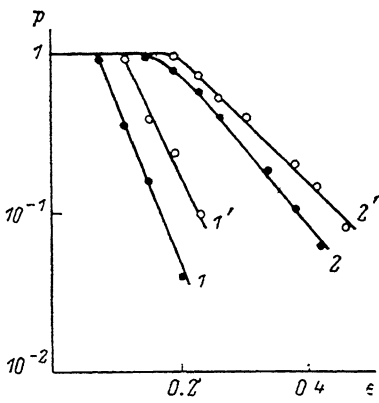


Рис. 2. Зависимость от деформации относительной доли объема сплава  $Ni_3Fe$  при 293 К, не занятого еще неразориентированной (1, 1') и разориентированной (2, 2') ячеистыми структурами.

1, 2 — размер зерна 40; 1', 2' — 450 мкм [4].

Целью настоящей работы является теоретический анализ кинетики этого деления. В литературе этот вопрос не был до сих пор предметом специального теоретического обсуждения.

Для формирования новых дислокационных границ требуются, очевидно, свежие дислокации. Следовательно, кинетика размножения границ должна быть связана с кинетикой размножения дислокаций. В [5] было сформулировано уравнение эволюции неоднородной плотности дислокаций  $\rho$  на второй и третьей стадиях кривых деформационного упрочнения кристаллов, в пределах которых формируется и эволюционирует ячеистая структура

$$\frac{\partial \rho}{\partial \gamma} + (\xi - 1) \frac{\lambda_D}{b\rho} \frac{\partial^2 \rho}{\partial x^2} = z_m - z_i + z_f \rho^{1/2} - z_a \rho. \quad (1)$$

Здесь  $\gamma$  — деформация,  $x$  — пространственная координата,  $b$  — вектор Бюргерса. Уравнение (1) включает в себя процессы размножения (коэффициенты  $z_m$  и  $z_f$  [5, 6]), иммобилизации ( $z_i$  [5]), анигиляции ( $z_a$  [6, 7]) и диффузии ( $\lambda_D$ ,  $\xi$  [8]) дислокаций в деформируемом кристалле. Анализ стационарных ( $\partial \rho / \partial \gamma = 0$ ) решений этого уравнения показал [5], что при

выполнении определенных условий оно описывает пространственно-периодическую дислокационную структуру с равновесным размером ячеек  $\Lambda_\infty$ . В настоящей работе мы используем это уравнение для анализа кинетики деления ячеек, привлекая дополнительно для этой цели вытекающий из эксперимента принцип подобия дислокационных структур при различных степенях пластической деформации [1].

Согласно этому принципу, плотность дислокаций в границах дислокационных ячеек  $\rho_r$  изменяется с деформацией по тому же закону, что и полная плотность дислокаций  $\rho$ ,  $\rho_r(\gamma) = \delta_r \rho(\gamma)$ , где  $\delta_r > 1$  — коэффициент подобия. Так как плотность границ на единицу длины  $N = \Lambda^{-1}$ , где  $\Lambda$  — текущий размер ячеек, а дислокации сосредоточены в основном в их границах, то полная плотность дислокаций  $\rho = \Lambda^{-1} h^{-1}$ , где  $h = \rho_r^{-1/2} = \delta_r^{-1/2}$  — расстояние между дислокациями в границах,<sup>1</sup>  $\delta = \delta_r^{1/2}$ . Таким образом, имеем  $N = \Lambda^{-1} = \delta \rho^{1/2}(\gamma)$ . Это означает, что эволюция  $N$  и  $\Lambda$  с деформацией определяется эволюцией  $\rho$  с  $\gamma$ , т. е. уравнением типа (1).

Подставляя в (1)  $N = \Lambda^{-1} \sim \rho^{1/2}$  и предполагая, что процесс размножения границ и деления ячеек происходит квазигомогенно, получаем для безразмерных плотности границ  $n = N/N_1$  и размера ячеек  $\lambda = \Lambda/\Lambda_1$  уравнения

$$\frac{dn}{d\gamma} = \frac{1}{2} z_a \left(1 - \frac{\psi_0}{n}\right)(1-n), \quad \frac{\partial \lambda}{\partial \gamma} = \frac{1}{2} z_a \lambda (1 - \psi_0 \lambda) (\lambda - 1), \quad (2)$$

где

$$N_1 = \Lambda_1^{-1} = \delta \rho_1^{1/2}, \\ \psi_0 = \frac{\rho_2^{1/2}}{\rho_1^{1/2}}, \quad \rho_1^{1/2} = \left(\frac{z_f}{2z_a}\right)(1 \pm \sqrt{1-\eta}), \quad \eta = \frac{4z_a}{z_f^2}(z_i - z_m). \quad (3)$$

Из уравнений (2) следует, что процесс размножения границ и деления ячеек начинается при  $n > \psi_0$  или с учетом обозначений (3) при критическом расстоянии между границами  $\Lambda_2 = 1/(\delta \rho_2^{1/2})$  и заканчивается при  $n=1$ , т. е. при  $\Lambda_1 = 1/(\delta \rho_1^{1/2})$ . Например, в меди [1]  $\Lambda_1/\Lambda_2 = \psi_0 \approx 0.17$ .

По своему содержанию первое из уравнений (2) является типичным уравнением, описывающим кинетику фазового превращения [9], где  $n$  имеет смысл относительного объема материала, занятого новой фазой. В рассматриваемом случае новой «фазой» являются области кристалла с высокой плотностью дислокаций (дислокационные стенки). Поскольку для устойчивого роста «фазы» требуется некоторая критическая ее концентрация  $n_k = \psi_0$ , зависимость  $n(\gamma)$  имеет сигмоидальный вид. Интегрируя (2) при  $n \gg \psi_0$  и  $\lambda \ll \psi_0^{-1}$ , получаем (полагая  $\Lambda_1 = \Lambda_\infty$ )

$$\Delta = \Delta_\infty / (1 - e^{-\gamma_a \gamma/2}), \quad n \approx 1 - e^{-\gamma_a \gamma/2}. \quad (4)$$

Сплошная кривая на рис. 1 проведена в соответствии с первым выражением (4);  $\gamma = m\varepsilon$ , где  $m$  — ориентационный фактор. При относительно небольших деформациях  $\gamma \ll 2/z_a$  размер ячеек  $\Lambda \sim 1/\gamma$ , а при больших стремится к равновесному значению  $\Lambda_\infty$  [5].

Из второго соотношения (4) следует, что доля объема материала, свободного от дислокационных границ,  $p = 1 - n$  должна экспоненциально убывать с деформацией. На рис. 2 приведены результаты анализа [4] дислокационной структуры в упорядоченном сплаве Ni<sub>3</sub>Fe (прямые 1, 1'), подтверждающие это экспоненциальное убывание. Видно, что для возникновения ячеистой структуры в этом сплаве требуется некоторая критическая величина деформации, тем большая, чем больше размер зерен. Интересно отметить, что и в случае разориентированной ячеистой структуры доля объема материала, еще не занятого ею, также экспоненциально снижается с  $\varepsilon$  (кривые 2, 2').

<sup>1</sup> Границы ячеек имеют конечную ширину  $\Delta \Delta \gg b$  [1, 5], т. е. представляют из себя двумерные, а не одномерные, как в случае полигонизованных границ наклона, образования. Они содержат дислокации разного знака, среднее расстояние между которыми  $h = \rho_r^{1/2}$ .

В заключение заметим, что кинетический механизм образования ячеистых дислокационных структур (процесс пространственной самоорганизации дислокаций) хорошо согласуется с опытом и позволяет объяснить многие связанные с ними закономерности.

### Список литературы

- [1] Prinz F., Argon A. S. // Phys. St. Sol. (a), 1980. V. 57. N 2. P. 741—753.
- [2] Youn. C. T., Headley T. J., Lytton J. L. // Mater. Sci. Eng. 1986. V. 81. N 1/2. P. 391—401.
- [3] Tabata T., Imanaka S., Fujita H. // Acta Met. 1978. V. 26. N 3. P. 405—414.
- [4] Конева Н. А., Лычагин Д. В., Жуковский С. П., Козлов Э. В. // ФММ. 1985. Т. 60. № 1. С. 171—179.
- [5] Малыгин Г. А. // ФТТ. 1989. Т. 31. № 1. С. 175—180.
- [6] Владимирова Г. В., Малыгин Г. А., Рыбкина Д. Г. // ФММ. 1989. Т. 67. № 2. С. 380—388.
- [7] Малыгин Г. А. // ФТТ. 1987. Т. 29. № 7. С. 2057—2072.
- [8] Малыгин Г. А. // ФТТ. 1988. Т. 30. № 10. С. 3174—3177.
- [9] Кристиан Дж. Теория превращений в металлах и сплавах. М.: Мир. 1978. 806 с.

Физико-технический институт  
им. А. Ф. Иоффе АН СССР  
Ленинград

Поступило в Редакцию  
5 января 1989 г.  
В окончательной редакции  
11 мая 1989 г.

УДК 535.375.5

Физика твердого тела, том 31, в. 9, 1989  
*Solid State Physics, vol. 31, N 9, 1989*

## 110-ГРАДУСНЫЙ ТЕТРАГОНАЛЬНЫЙ СВЕРХПРОВОДНИК (Y<sub>0.75</sub>Sc<sub>0.25</sub>)(Ba<sub>0.75</sub>Sr<sub>0.25</sub>)<sub>2</sub>Cu<sub>3</sub>O<sub>8</sub>

А. А. Буш, И. С. Дубенко, М. Ф. Лимонов, Ю. Ф. Марков,  
А. Г. Панфилов, Б. С. Разбираин, О. В. Соколова

При анализе путей повышения критической температуры  $T_c$  перехода в сверхпроводящее (СП) состояние были сформулированы эмпирические правила Маттиаса:  $T_c$  растет с уменьшением массы атома, входящего в сверхпроводящее соединение (в частном случае — изотопический эффект) и с увеличением его радиуса [1]. Заметим, что оба этих атомных параметра определяют частоты колебаний кристаллической решетки. Это обстоятельство предлагается использовать для универсальной оценки ожидаемых изменений  $T_c$  в новых СП-системах по колебательным спектрам. Другой закономерностью повышения  $T_c$  можно считать ее связь с неустойчивостью кристаллической решетки, отмеченную при исследовании систем типа Nb<sub>3</sub>Sn [1, 2].

Одним из возможных путей увеличения  $T_c$  для высокотемпературных сверхпроводников является поиск смешанных соединений с неполными изовалентными замещениями, стабилизирующими кристаллическую решетку по возможности близко к концентрационной точке структурной неустойчивости. Поэтому перспективными представляются следующие ряды изовалентных замещений в исходной системе La—Ba—Cu—O, приводящие к последовательному уменьшению массы атомов: La → Y → Sc, Ba → Sr → Ca. В результате таких замен из-за существенного различия радиусов замещаемых атомов система может распадаться на ряд несмешивающихся фаз, поэтому для стабилизации решетки следует проводить двойную параллельную замену, например, типа (Y<sub>1-x</sub>Sc<sub>x</sub>)(Ba<sub>1-y</sub>Sr<sub>y</sub>)<sub>2</sub>Cu<sub>3</sub>O<sub>8</sub>.

Ряд образцов (Y<sub>1-x</sub>Sc<sub>x</sub>)(Ba<sub>1-y</sub>Sr<sub>y</sub>)<sub>2</sub>Cu<sub>3</sub>O<sub>8</sub> был приготовлен по обычной керамической технологии, в качестве шихты использовались гомогенизированные смеси оксидов и карбонатов высокой степени чистоты. Рентгено-